

2.4.1. «Электрон» - «позитронное» взаимодействие

2.4.1.1. Однокольцевое модельное представление

В п. 2.3.3.3 при рассмотрении внешней оболочки «электрона» было показано, что его ракия «всасывает» *субконт*, который стекается к ядру данного «электрона» с ускорением (2.3.93)

$$a_r^{(a)} = - \frac{c^2 r_e}{2r^2 \left(1 - \frac{r_e}{r}\right)^{\frac{1}{2}}} \quad (2.4.1)$$

Данное ускоренное стечение *субконта* увлекает ядро «позитрона» (см. рис. 2.4.3). Если абстрагироваться от инертных свойств ядра «позитрона» (которые будут рассмотрены ниже), то с достаточно высокой степенью достоверности можно приближенно полагать, что оно притягивается к ядру «электрона» с ускорением (2.4.1).

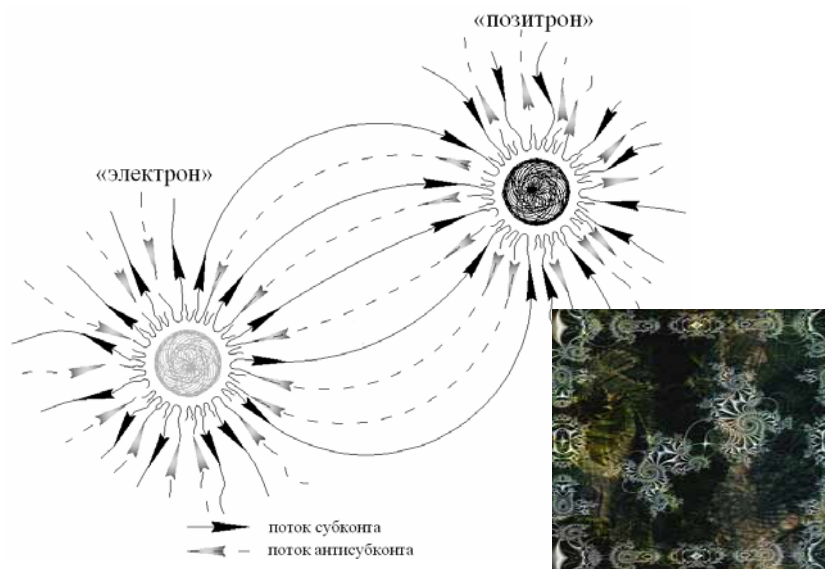
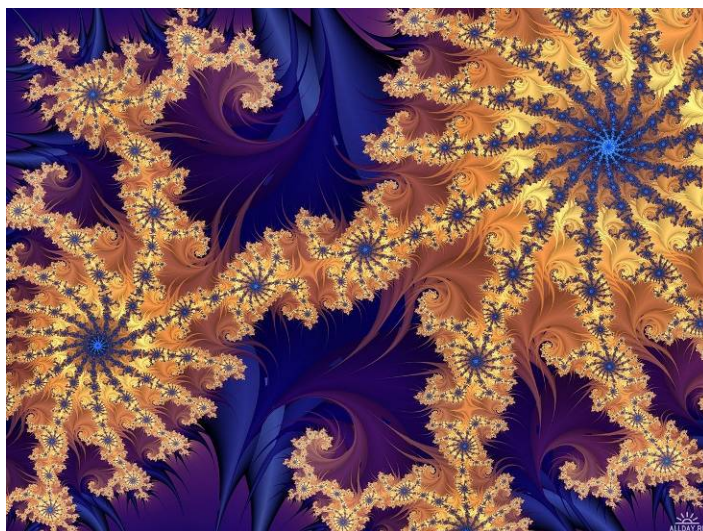


Рис. 2.4.3. «Электрон» - «позитронное» взаимодействие посредством одного субконт-антисубконтного обменного процесса



www.allday.ru

С другой стороны, ракия «позитрона» всасывает *антисубконт*, стекающий к ядру данного вакуумного образования с ускорением (2.3.188)

$$a_r^{(c)} = - \frac{c^2 r_{\bar{e}}}{2r^2 \left(1 - \frac{r_{\bar{e}}}{r}\right)^{\frac{1}{2}}}, \quad (2.4.2)$$

увлекая при этом ядро «электрона» (см. рис. 2.4.3). В этом случае можно приближенно полагать, что ядро «электрона» притягивается к ядру «позитрона» с ускорением (2.4.2).

В рамках такого (грубого) модельного представления ракия «электрона» поглощает *субконт* и источает *антисубконт*, который возвращается к ракии «позитрона», где снова превращается в *субконт*, который вновь устремляется к ракии «электрона».

Топологическую сущность данной субконт-антисубконтной циркуляции можно пояснить с помощью ленты Мёбиуса (см. рис. 2.4.4). Представьте, что субконт течет вдоль внешней стороны полосы бумаги, из которой свернута лента Мёбиуса, а антисубконт движется в обратную сторо-



Рис. 2.4.4. Лента Мёбиуса
(www.raznoe3d.narod.ru)

ну вдоль ее внутренней стороны. Если такую ленту Мёбиуса скрутить в жгут:



то получившаяся двойная спираль будет хорошим модельным представлением усредненной линии субконт-антисубконтного тока между ракиями «электрона» и «позитрона».

В рамках такого модельного представления ядра «электрона» и «позитрона» сближаются друг с другом с общим ускорением

$$a_r^{(e+\bar{e})} = \sqrt{a_r^{(a)2} + a_r^{(c)2}} = \sqrt{\left(\frac{c^2 r_e}{2r^2 \left(1 - \frac{r_e}{r}\right)^{\frac{1}{2}}}\right)^2 + \left(\frac{c^2 r_{\bar{e}}}{2r^2 \left(1 - \frac{r_{\bar{e}}}{r}\right)^{\frac{1}{2}}}\right)^2}. \quad (2.4.3)$$

В случае равенства радиусов ракий «электрона» и «позитрона» $r_e = r_{\bar{e}}$ выражение (2.4.3) сводится к следующему виду

$$a_r^{(e+\bar{e})} = \frac{\sqrt{2}}{2} \frac{c^2 r_e}{r^2 \left(1 - \frac{r_e}{r}\right)^{\frac{1}{2}}}. \quad (2.4.4)$$

В данном случае r – это расстояние между центрами ядер «электрона» и «позитрона».

При $r \gg r_e$ уравнение (2.4.4) упрощается и приобретает вид, аналогичный силе кулоновского взаимодействия (2.3.96)

$$a_r^{(e+\bar{e})} = \frac{\sqrt{2}}{2} \frac{c^2 r_e}{r^2}. \quad (2.4.5)$$

График функции (2.4.4) представлен на рис. 2.4.5. Из этого графика видно, что функция (2.4.4) не симметрична относительно нуля, что явно не соответствует реальности. Поэтому однокольцевую модель и соответственно выражение (2.4.4) можно рассматривать как первое приближение к

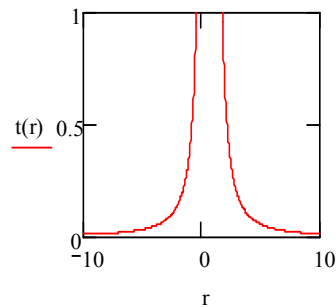
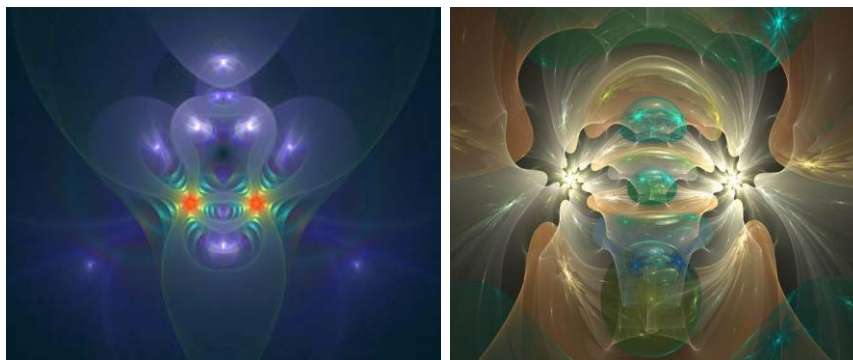


Рис. 2.4.5. График функции (2.4.4) при $c = r_e = 1$

пониманию рассматриваемого обменного *субконт-антисубконтного* процесса.



<http://www.crlc.pu.ru/share/hosse/>

<http://lol.211.ru/>

Взаимодействие «частиц»

2.4.1.2. Двухкольцевое модельное представление

Следует учитывать, что между ракиями «электрона» и «позитрона» циркулируют не один, а два переплетенных субконт-антисубконтных тока (см. рис. 2.4.6).

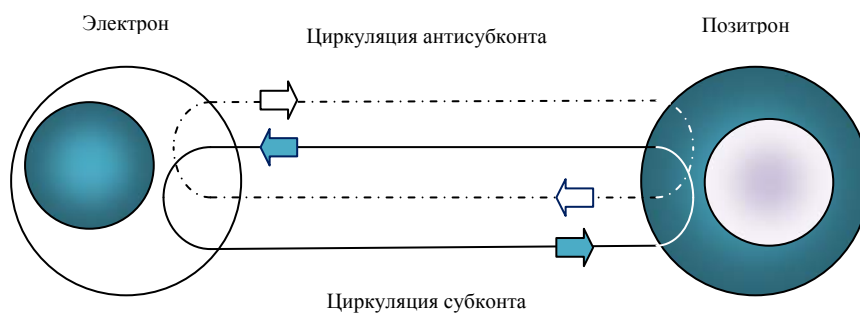


Рис. 2.4.6. Циркуляция *субконт* и *антисубконт* между ракиями «электрона» и «позитрона»

В этом случае между ракиями «электрона» и «позитрона» имеют место четыре переплетенных *субконт-антисубконтных* тока с ускорениями (2.3.93), (2.3.94) и (2.3.188), (2.3.189):

$$\mathbf{I} \quad a_r^{(-a)} = - \frac{c^2 r_e}{2r^2 \left(1 - \frac{r_e}{r}\right)^{\frac{1}{2}}} \quad - a - \text{субконта}; \quad (2.4.6)$$

$$\mathbf{H} \quad a_r^{(-b)} = \frac{c^2 r_e}{2r^2 \left(1 + \frac{r_e}{r}\right)^{\frac{1}{2}}} \quad - b - \text{антисубконта}; \quad (2.4.7)$$

$$\mathbf{V} \quad a_r^{(-c)} = - \frac{c^2 r_{\bar{e}}}{2r^2 \left(1 - \frac{r_{\bar{e}}}{r}\right)^{\frac{1}{2}}} \quad - c - \text{антисубконта}; \quad (2.4.8)$$

$$\mathbf{H}' \quad a_r^{(-d)} = \frac{c^2 r_{\bar{e}}}{2r^2 \left(1 + \frac{r_{\bar{e}}}{r}\right)^{\frac{1}{2}}} \quad - d - \text{субконта}. \quad (2.4.9)$$

Существует еще пятое [*i* (коц)] принципиально отличное ускорение, обусловленное фазовым сдвигом субконт-антисубконтных процессов между ракиями «частицы» и «античастицы». Это ускорение эквивалентно гравитационному взаимодействию между ядрами «электрона» и «позитрона» (см. гл. 2.7).

Топологическую сущность двухкольцевой субконт - антисубконтной циркуляции можно пояснить с помощью четырехсторонней ленты Мёбиуса (см. рис. 2.4.7). В этом случае каждый из четырех вакуумных токов с ускорениями (2.4.6) – (2.4.9) течет по своей стороне четырехсторонней ленты Мёбиуса, превращаясь друг в друга в точках перегиба, находящихся в ракиях «электрона» и «позитрона».

Еще более правильно полагать, что такая четырехгранная лента много раз перекручена, т. е. образует жгут с концами, закольцованными в ракиях «частиц» и «античастиц». При этом четыре межракийных субконт-антисубконтных тока оказываются переплетенными в четырехжильную спираль. Это означает также, что все эти 4 вакуумных тока всегда взаимно перпендикулярны друг другу. Поэтому в



www.images.yandex.ru

Рис. 2.4.7. Четырехгранная лента Мёбиуса

рамках двухконтурной модели общее ускорение сближения ядер «электрона» и «позитрона» должно определяться как корень квадратный из суммы квадратов ускорений (2.4.6) – (2.4.9):

$$a_r^{(e+\bar{e})} = \sqrt{a_r^{(-a)^2} + a_r^{(-b)^2} + a_r^{(-c)^2} + a_r^{(-d)^2}} = \frac{\sqrt{2c^2 r_e}}{r^2 \left(1 - \frac{r_e^2}{r^2}\right)^{\frac{1}{2}}}, \quad (2.4.10)$$

где учтено, что $r_e = r_{\bar{e}}$.

График функции (2.4.10) представлен на рис. 2.4.8. При $r \gg r_e$ уравнение (2.4.10) сводится к виду

$$a_r^{(e+\bar{e})} = \frac{\sqrt{2c^2 r_e}}{r^2}, \quad (2.4.11)$$

соответствующий силе кулоновского взаимодействия.

При сравнении (2.4.11) с (2.4.5) обнаруживаем, что двухкольцевое «электрон» - «позитронное» взаимодействие как минимум в 2 раз интенсивнее однокольцевого процесса.

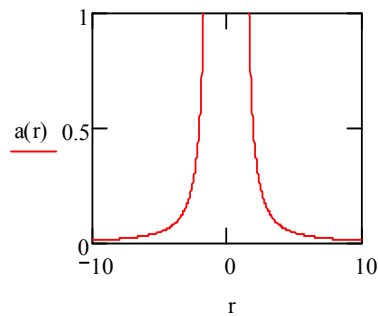


Рис. 2.4.8. График функции (2.4.10) при $c = r_e = 1$



<http://psytribe.ru/>

Ядра «электрона» и «позитрона», сближаясь друг с другом, как бы накручиваются на единую винтовую линию. Для пояснения данного высказывания воспользуемся следующей аналогией. Пусть на длинный винт накручены два шара (рис. 2.4.9). Если один шар вращать по часовой стрелке, а второй – против часовой стрелки, то эти шары будут сближаться.

Данная модель соответствует однокольцевой модели «электрон» - «позитронного» взаимодействия, рассмотренной в п. 2.4.1.1.



Рис. 2.4.9. Сближение шаров с различным направлением вращения относительно неподвижного винта

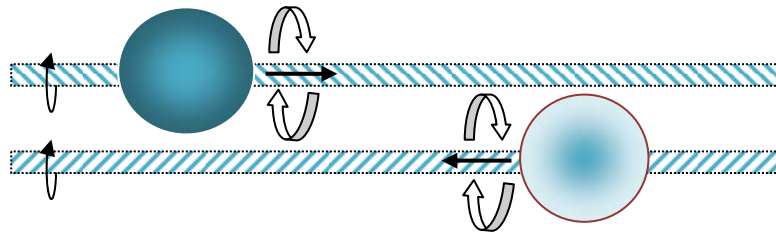


Рис. 2.4.10. Сближение шаров с одинаковым направлением вращения против часовой стрелки, но находящихся на винтах с различным направлением резьбы

Двухкольцевой модели более соответствует рис. 2.4.10, где показано сближение шаров с одинаковым направлением вращения против часовой стрелки, но находящихся на параллельных винтах с различным направлением резьбы.

Как уже отмечалось в рамках физики XIX и XX веков элементарные частицы не могут обладать пространственно распределенным зарядом. С точки зрения классической электродинамики, если бы заряженный электрон обладал хоть каким-нибудь пространственным размером, то он не имел бы шанса на выживание, т. к. его одноименно заряженные части неминуемо разлетелись бы в разные стороны под действием колоссальной электростатической силы. Поэтому в ныне принятых теориях элементарный заряд наряду с массой покоя и спином является своего рода внутренней характеристикой материальной «точки».

Представления об отсутствии размеров у элементарных частиц противоречат обыденному здравому смыслу, и приводят к логическим парадоксам. Для примера вычислим полную энергию электростатического поля электрона W , радиус которого примем равным a [12]:

$$W_{\mathcal{E}} = \frac{1}{8\pi} \int E^2 dV = \frac{1}{8\pi} \int_a^{\infty} \frac{e^2}{r^4} 4\pi r^2 dr = -\frac{e^2}{2r} \Big|_a^{\infty} = \frac{e^2}{2a}.$$

Очевидно, что при $a \rightarrow 0$ данная энергия стремится к бесконечности.

Чтобы уйти от подобного рода расходимостей, квантовая физика опирается на калибровочные теории, математический аппарат которых допускает процедуру перенормировки. В случае электродинамики единичного точечного заряда часть эффекта перенормировки заключается в учете так называемой поляризации физического вакуума. Этот эффект, как полагает квантовая физика, связан с тем, что виртуальные электрон-позитронные пары, постоянно рождаются из вакуума и тут же исчезают в нем, но за свое короткое время существования они успевают сорентироваться таким образом, чтобы ослабить воздействие «голого» точечного заряда. Поэтому в рамках квантовой электродинамики (КЭД) «константа» электромагнитного взаимодействия

$$a_e = e^2/(4\pi) \quad (2.4.12)$$

оказывается эффективной функцией от расстояния вида [26]:

$$a_{\text{eff}}(r) = \frac{e_{\text{eff}}^2}{4\pi} = \frac{\frac{e^2}{4\pi}}{1 - \frac{e^2}{6\pi^2} \ln \frac{\eta}{4rm_0}}, \quad (2.4.13)$$

где m_0 – масса электрона.

Данную подгоночную процедуру называют перенормировкой константы электромагнитного взаимодействия. Она позволяет квантовой электродинамике уйти от т. н. «ультрафиолетовой катастрофы».

Подставляя в закон Кулона

$$F_{\text{кл}} = \frac{e^2}{4\pi\epsilon_0 r^2} \quad (2.4.14)$$

вместо $e^2/4\pi$ эффективную функцию (2.4.13), получим

$$F_{\text{кл eff}} \approx \frac{e^2}{4\pi\epsilon_0 r^2 \left(1 - \frac{e^2}{6\pi^2} \ln \frac{\eta}{4rm_0}\right)}. \quad (2.4.15)$$

Сравнивая (2.4.10) с (2.4.15), обнаруживаем следующее соответствие между подходом квантовой электродинамики и выводами Алсигны

$$\frac{e^2}{4\pi\epsilon_0} \leftrightarrow \sqrt{2}c^2r_e \quad (2.4.16)$$

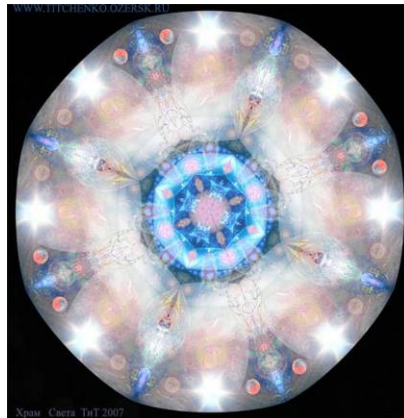
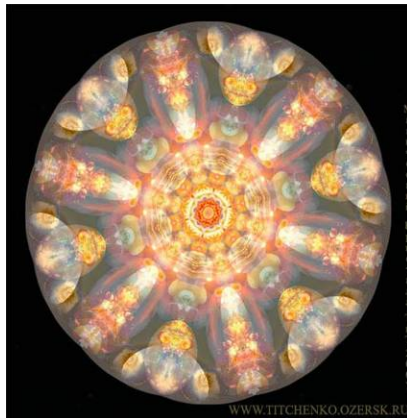
и

$$\frac{1}{\left(1 - \frac{e^2}{6\pi^2} \ln \frac{\eta}{4\pi m_0}\right)} \leftrightarrow \frac{1}{\left(1 - \frac{r_e^2}{r^2}\right)^{\frac{1}{2}}}. \quad (2.4.17)$$

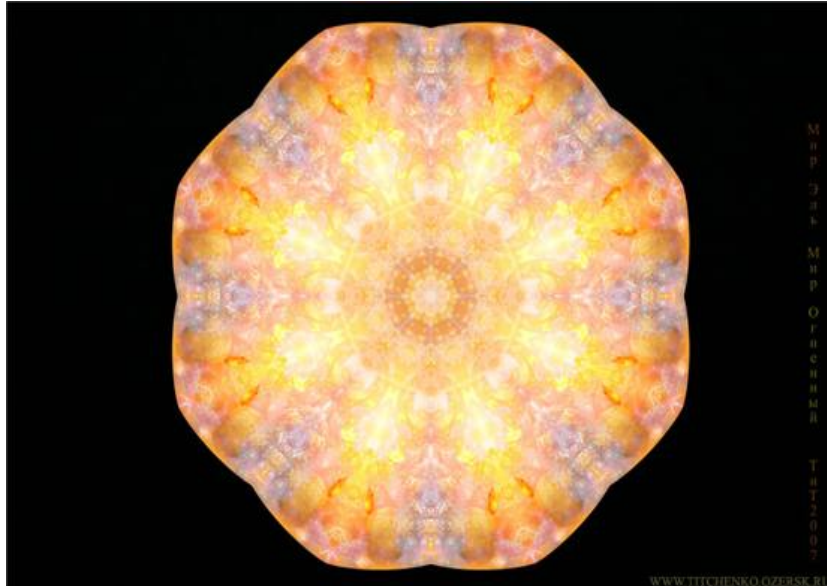
Из соответствия (2.4.16) видно, что роль «голового» заряда электрона e в Алсигне выполняет величина

$$\sqrt{1,41 c^2 r_e} \approx 5,77 \cdot 10^3 \text{ см}^{3/2}/\text{с}, \quad (2.4.18)$$

характеризующая «интенсивность» субконт - антисубконтной воронки (ракии), окружающей ядро «электрона» с радиусом $r_e \approx 2,81 \cdot 10^{-13}$ см (см. рис. 2.3.4).



<http://kovcheg.ucoz.ru/>

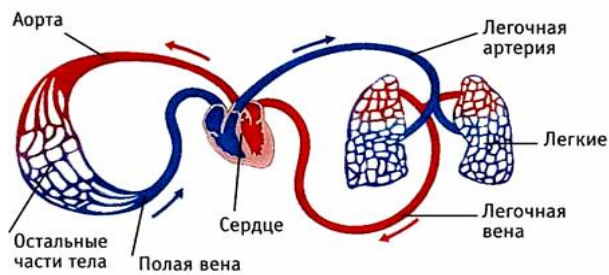


www.titchenko.ozersk.ru

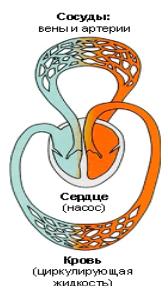
«Электрон» и «позитрон» – «Храмы Света»

2.4.1.3. Кровеносная система человека

Рассмотренное в предыдущем пункте двухкольцевое модельное представление о *субконт-антисубконтных* обменных процессах между ракиями «частиц» и «античастиц» удивительным образом напоминает кровеносную систему человека (см. рис. 2.4.11).



<http://homotomia.narod.ru/>



<http://www.critical.ru/>



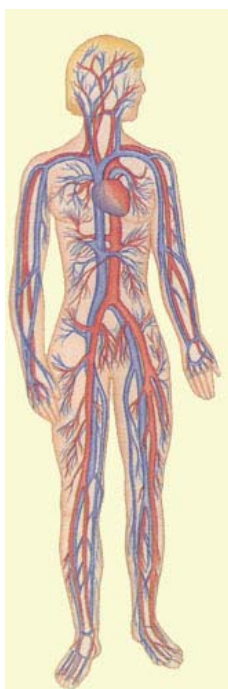
<http://www.podrobnosti.ua/>

Рис. 2.4.11. Кровеносная система человека

Кровеносная система человека так же имеет два кольца – большое и малое. Первое большое кольцо начинается с истечения артериальной (антисубконтной) крови из сердца. Далее артериальная кровь растекается по артериям ко всем органам и частям тела (см. рис. 2.4.11), неся кислород и питательные вещества. Клетки органов тела используют эти вещества для своей жизнедеятельности и развития, и выделяют углекислый газ и вредные отходы, которые вместе с венозной (субконтной) кровью возвращаются по венам к сердцу. Неумолимое сердце отправляет венозную кровь по второму малому контуру в легкие (см. рис. 2.4.11), где она очищается и обогащается кислородом, т. е. вновь превращается в артериальную кровь.

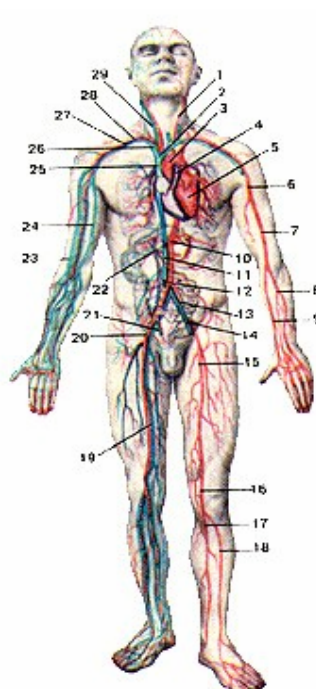
Обогащенная артериальная кровь возвращается в сердце, замыкая второй малый контур. Из сердца она вновь растекается по всему телу, неся кислород и питательные вещества всем его органам.

«Позитрон»



<http://massaging>.

«Электрон»



<http://qd.ifmo.ru/>

Рис. 2.4.12. Кровеносные системы мужчины и женщины [58]

Кровеносные системы мужчины (электрона) и женщины (позитрона) (см. рис. 2.4.12) полностью повторяют картину обменных субконт - анти-субконтных процессов между «электроном» и «позитроном». Интересно, что кровь в артериях и венах так же течет по спирали. Все Создал ТВОРЕЦ по единым Принципам и Алгоритмам.

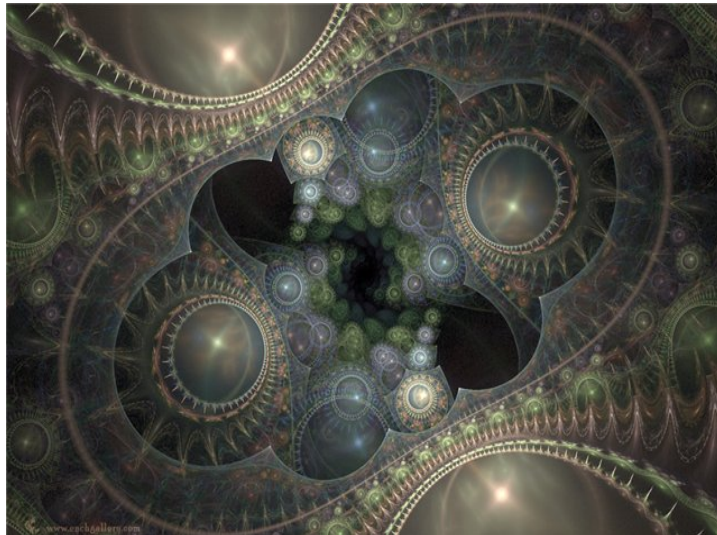
«И Сказал ЭЛОГ'ИМ: Сотворим Адама (♁♁) по Образу НАШЕМУ, по Подобию НАШЕМУ» (Бытие, 1: 26).

Слово ♁♁ (Адам - Человек) буквально означает следующее: ♁ – циркуляция, дух; ♁ (дам) – кровь. То есть человек – это циркуляция духа в крови.

На самом деле в Тексте ТОРЫ буквально написано: «Создадим $\square\tau\aleph\eta$ » (т. е. η - Адама). Буква η имеет числовое значение 5, соответствующее пяти символам Непроизносимого Имени ТВОРЦА (*НУНИ*). Пятеричность в данном случае может означать:

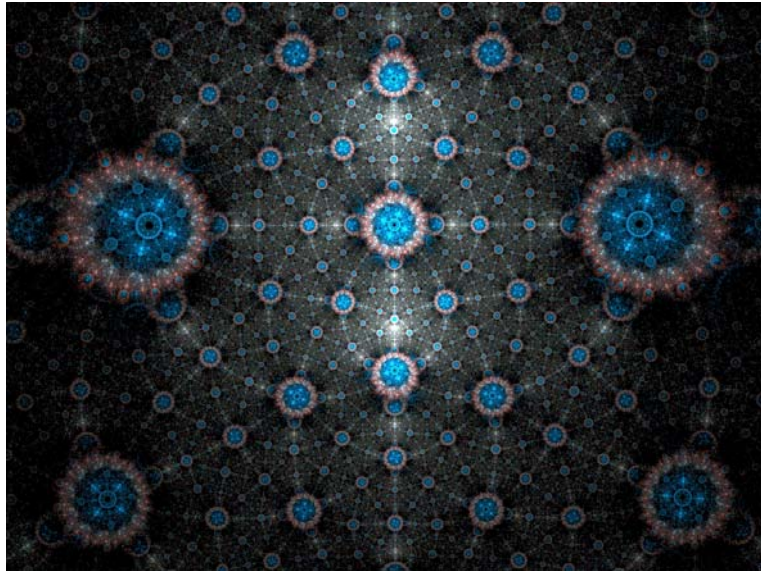
1. Пять конечностей человека: 2 руки, 2 ноги, голова;
2. Пять уровней души: *нефеш, руах, нешема, хая, ехида*;
3. Пять видов крови: 2 артериальных, 2 венозных, лимфа;
4. Пять основных групп крови по резус-фактору;
5. Пять видов человека (рас): черный, красный, желтый, белый, еврей.

«Еврей» – это человек, обладающий особой связью с ТВОРЦОМ и тягой к НЕМУ в не зависимости от цвета кожи. Евреи Выведены ТВОРЦОМ из египетского рабства и за это они связаны с НИМ страшной клятвой служить ЕГО Имени. Среди евреев размещен «эрев рав», были времена, когда еврейство покупали за серебро, или принимали из-за боязни львов. ТОРА Запрещает исследовать родословную человека. В Мишне сказано: «Время чистит серебро», то есть открыто для всех. Заслуги отцов помогают, но не определяют.



<http://www.nowa.cc/>

Взаимодействие



<http://www.crlc.pu.ru/share/hosse/>



<http://www.crlc.pu.ru/share/hosse/>

Ткань Естества